УДК 548.734.3:546.86

ФИЗИКА

Академик АН БССР Н. Н. СИРОТА, А. У. ШЕЛЕГ

СРЕДНЕКВАДРАТИЧНЫЕ ДИНАМИЧЕСКИЕ СМЕЩЕНИЯ ИОНОВ И СТРУКТУРНЫЕ АМПЛИТУДЫ НИТРИДА ГАЛЛИЯ

Целью настоящего исследования являлось рентгенографическое определение структурных амплитуд нитрида галлия и, на основе полученных экспериментальных значений этих величин, подсчет среднеквадратичных динамических смещений ионов галлия и азота в различных кристаллографических направлениях.

Нитрид галлия имеет гексагональную структуру типа вюрцита. Кристаллическая решетка GaN, так же как AlN и InN, несколько отклоняется от идеальной структуры вюрцита (c/a = 1,626).

Представляло интерес измерение для нитрида галлия параметра u_0/c , где u_0 — кратчайшее расстояние Ga — N. До настоящего времени уточнение структуры данного соединения не производилось. Между тем известно, что экспериментальные значения величины u_0/c для AlN и BeO (1-3) отличаются от рассчитанных. Можно было предполагать, что подобное расхождение будет иметь место и в случае GaN.

Для получения нитрида галлия металлический галлий в корундизовой лодочке нагревался до температуры 1100° С в потоке аммиака, прошедшего через фильтр с металлическим натрием. Процесс продолжался в течение 2—3 час. В результате был получен нитрид галлия в виде тонкого кристаллического порошка светло-серого цвета, который, согласно рентгенографическому фазовому анализу, не содержал других фаз.

На образцах, приготовленных под давлением 4 кг/см², проводились все измерения интенсивностей рефлексов рентгеновского дифракционного спектра. Независимость интенсивности передней линии 101 от давления может служить свидетельством того, что в образцах отсутствовали такие эффекты, как пористость и грубость поверхности. Измерения интенсивностей рентгеновских, дифракционных рефлексов проводились по методике, использованной нами ранее (3, 4).

Подсчет абсолютных значений структурных амилитуд нитрида галлия показал, что метод абсолютного измерения интенсивности первичного пучка и привязка к эталону в пределах погрешности эксперимента $\sim 2\%$ дают одинаковые результаты.

В измеренные интенсивности рефлексов вводилась поправка на поляризацию рептгеновских лучей (5) и преимущественную ориентацию плоскостей (400) (4).

Отметим значительные расхождения в величинах параметров ячейки нитрида галлия, определенных разными авторами ($^{6-8}$). В связи с этим нами были проведены измерения параметров ячейки нитрида галлия при комнатной температуре и получены следующие значения: $a=3,186\pm 0.003$ Å, $c=5,181\pm 0.003$ Å и c/a=1,626.

Легко показать, что квадрат структурной амилитуды нитрида галлия определяется соотношением $\binom{3}{2}$

$$|F|^{2} = \left\{ f_{1}^{2} + f_{2}^{2} + 2f_{1}f_{2}\cos 2\pi \frac{u_{0}}{c} l \right\} \cdot \frac{2}{3} \left\{ 3 + (-1)^{l} \left[4\cos 2\pi \frac{h-k}{6} \times \cos 2\pi \frac{h+k}{6} \cos 2\pi \frac{h+2k}{6} - 1 \right] \right\} = |\widetilde{F}|^{2}n, \tag{1}$$

где $h,\ k,\ l$ — индексы Миллера, f_1 и f_2 — форм-факторы галлия и азота соответственно.

$$|\tilde{F}|^2 = \left\{ f_1^2 + f_2^2 + 2f_1f_2\cos 2\pi l \frac{u_0}{c} \right\}. \tag{2}$$

Величина $|\tilde{F}|^2$ будет зависеть не только от факторов атомного рассеяния f_1 и f_2 атомов (нонов), входящих в решетку, но и от взаимного распо-

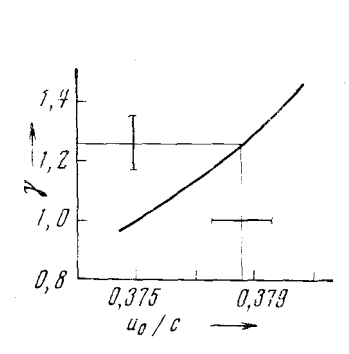


Рис. 1. График для определения величины u_0/c

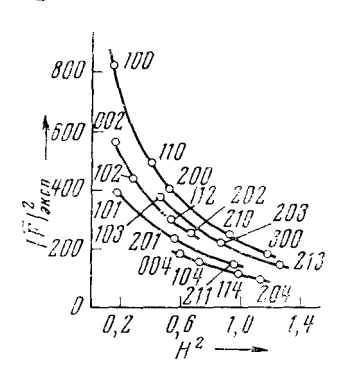


Рис. 2. Зависимость измеренных значений $|F|^2$ эксп при комнатной температуре от порядка отражения H^2

ложения атомов в решетке u_0/c . Анализ показал, что $|\widetilde{F}|^2$ с увеличением u_0/c для рефлексов с четными l увеличивается, а для рефлексов с нечетными l — уменьшается.

Тогда очевидно, что

$$\gamma = \frac{|\widetilde{F}|_{l=2}^2 - |\widetilde{F}|_{l=1}^2}{|\widetilde{F}|_{l=3}^2 - |\widetilde{F}|_{l=2}^2} = \\ = \left[\cos\left(2\pi\frac{u_0}{c}\cdot 2\right) - \cos\left(2\pi\frac{u_0}{c}\right)\right] / \left[\cos\left(2\pi\frac{u_0}{c}\cdot 3\right) - \cos\left(2\pi\frac{u_0}{c}\cdot 2\right)\right]$$
 будет достаточно чувствительной к изменению параметра u_0 / c .

Таблица 1

	_						- ,
hkl	$ \widetilde{F} _0^2$ eren	[F oreop	$\frac{\left \widetilde{F}\right _{0 \text{ pKcn}}^{2} - \left \widetilde{F}\right _{0 \text{ Teop}}^{2}}{\left \widetilde{F}\right _{0 \text{ Teop}}^{2}}, \%$	hkl	$ \widetilde{F} _{0}^{2}_{\mathfrak{G}KCn}$	$ \widetilde{F} _{0 \text{ Teop}}^2$	$\frac{\left \widetilde{F}\right _{0 \text{ 3KCH}}^{2} - \left \widetilde{F}\right _{0 \text{ TeOp}}^{2}}{\left \widetilde{F}\right _{0 \text{ TeOp}}^{2}}, \%$
002 101 102 110 103 200 112 201	$\begin{array}{c} 837,0 \pm 4 \\ 593,0 \pm 4 \\ 399,8 \pm 5 \\ 467,5 \pm 3 \\ 514,2 \pm 3 \\ 427,8 \pm 2 \\ 433,0 \pm 5 \\ 326,0 \pm 3 \\ 251,0 \pm 4 \\ 220,0 \pm 3 \\ \end{array}$	593,5 411,1 467,5 513,5 427,9 428,5 326,7 252,0	$\begin{array}{c} -0.08 \\ -2.74 \\ 0.0 \\ 0.14 \\ -0.09 \\ 1.05 \\ -0.21 \\ -0.39 \end{array}$	104 203 210 214 114 204 300	$\begin{array}{c} 283,0\pm 190,9\pm 6\\ 190,9\pm 6\\ 262,6\pm 5\\ 275,5\pm 6\\ 166,0\pm 5\\ 127,5\pm 6\\ 149,2\pm 6\\ 149,5\pm 6\\ 210,0\pm 6\\ 186,5\pm 2\\ \end{array}$	4 191,0 3 265,6 5 271,9 3 167,5 4 145,4 5 128,6 5 212,6	$ \begin{array}{c c} -0.05 \\ -1.14 \\ 4.32 \\ -0.89 \\ 2.61 \\ -0.86 \\ -4.22 \end{array} $

Построим график зависимости γ от u_0 / c в области предполагаемых значений этих величин для нитрида галлия. Затем, нанеся на этот график подсчитанную из плавных $\|\widetilde{F}\|_{ ext{pren}}^2$ кривых в области малых и средних углов отражения (рис. 2) величину γ , определяем значение u_0 / c .

Для нитрида галлия (c/a=1.626) в случае равенства связей в тетраэдре $u_0 / c = 0.376$.

Как видно из рис. 1, величина u_0 / c , определенная из экспериментальных значений структурных амплитуд, равна 0.3786 ± 0.0012 .

На рис. 2 представлены измеренные при комнатной температуре значения $\|\widetilde{F}\|_{\mathrm{Tench}}^2$ в зависимости от порядка отражения H^2 для $l=0,\ 1,\ 2,$ 3 и 4.

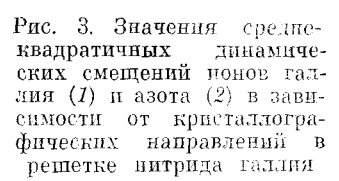
Учитывая, что нитрид галлия относится к гексагональной сингонии, функция атомного рассеяния j-го атома (иона) при температуре T с учетом анизотропии колебаний атомов будет иметь

$$j_T = f_{j0} \exp{(-2\pi^2 \overline{u_{jxy}^2} H_{xy}^2 - 2\pi^2 \overline{u_{jz}^2} H_z^2)},$$
 (4)
 где $H_{xy}^2 = {}^4/_3 (h^2 + hk + k^2) / a^2,$ $H_z^2 = l^2 / c^2,$ $\overline{u_{jxy}^2}$ — среднеквадратичные динамические смещения j -го атома (пона) в плоскости $xy,$ $\overline{u_z}^2$ — среднеквадратичные динамические смещения j -го атома (пона) в плоскостях, перпендикулярных плоскости $xy,$ f_{j0} — форм-фактор свободного j -го атома в состоянии покоя.

Из (4) следует, что если в гексагональной решетке наблюдается анизотропия колебаний атомов, то и f-факторы также будут анизотропными (3 , 11 , 12).

Подставляя в (2) вместо $f_{\rm Ga}$ и $f_{\rm N}$ их значения в виде (4) для линий с l=0 и l=1, при порядках отражения для которых $H_{xy}^{-2} \gg H_{z}^{-2}$, получим два уравнения (12). Решая эту систему уравнений, получим значения величин f_{Txy} Ga и f_{Txy} N.

Определение среднеквадратичных динамических смещений $\overline{u_{xy{
m Ga}}^2}$ и $\overline{u_{xy{
m N}}^2}$ атомов (ионов) галлия и азота в плоскости ху производилось путем сравнения функций атомного рассеяния галлия и азота для покоящегося атома (°) с учетом дисперсионной поправки для галлия (10) со значениями f_{Exy} Ga и $f_{Txy \ N}$ для комнатной температуры.



Используя полученные значения $\overline{u_{xy}^2}_{Ga}$ и $\overline{u_{xyN}^2}$ и экспериментальные величины $\|F\|_{T \text{ эксп}}^2$, для $l=2, \, \underline{3, \, 4}$ методом проб и ошибок были определены значения величин $u_{z \, \text{Ga}}^2$ и $u_{z \, \text{N}}^2$.

Полученные таким образом величины среднеквадратичных динамических смещений имеют следующие значения: для галлия $\overline{u_{xyGa}^2}=(0.250\pm$ $\pm 0.03) \cdot 10^{-2} \text{ Å}^2$, $\overline{u_{z\text{Ga}}^2} = (0.750 \pm 0.05) \cdot 10^{-2} \text{ Å}^2$; для азота $\overline{u_{xy\text{N}}^2} = (0.404 \pm 0.04) \cdot 10^{-2} \text{ Å}^2$, $\overline{u_{z\text{N}}^2} = (1.20 \pm 0.05) \cdot 10^{-2} \text{ Å}^2$.

На рис. З представлены значения среднеквадратичных динамических смещений (с.д.с.) ионов галлия и азота в различных кристаллографических направлениях решетки. Значения с.д.с. ионов галлия и азота вдоль оси c в три раза больше, чем в плоскости основания. Обращает на себя внимание и тот факт, что амплитуда колебаний ионов азота больше, чем галлия.

Представляло интерес сравнить полученные значения $\|F\|_{T \text{ эксп}}^2$ с теоретическими величинами $\|F\|_{0 \text{ тео p}}^2$. Для этого измеренные при комнатной температуре величины $\|F\|_{2 \text{ эксп}}^2$ были приведены к абсолютному нулю $\|F\|_{0 \text{ эксп}}^2$ (12).

Величины $|\widetilde{F}|_{0 \text{ эксп}}^2$ и $|\widetilde{F}|_{0 \text{ теор}}^2$ приведены в табл. 1. Как видно из таблицы между экспериментальными и теоретическими значениями |F| наблюдается согласие. Небольшое отклонение $|F|_{0 \text{ эксп}}^2$ от $|\widetilde{F}|_{0 \text{ теор}}^2$ для линии 101, возможно, вызвано частичным перераспределением внешних электронов между ионами галлия и азота в решетке нитрида галия, так как эта линия наблюдается под малым углом отражения и интенсивность ее является чувствительной величиной к состоянию ионов в кристаллической решетке.

Полученные в данной работе экспериментальные результаты свидетельствуют о том, что при изучении природы и характера химической связи в нитриде галлия необходимо учитывать анизотропный характер динамических смещений ионов и зависимость величины этого смещения от сорта иона.

, Институт физики твердого тела и полупроводников Академии наук БССР Минск Поступило 13 VII 1972

ПИТИРОВАННАЯ ЛИТЕРАТУРА

¹ G. A. Jeffrey, G. S. Parry, J. Chem. Phys., 23, № 2, 406 (1955). ² G. A. Jeffrey, G. S. Parry, R. L. Mozzi, J. Chem. Phys., 25, № 5, 1024 (1956). ³ N. N. Sirota, A. I. Olekhnovich, N. M. Olekhnovich, Acta crystallogr., A24, 639 (1968). ⁴ A. V. Шелег, Сбори. Химическая связь в полупроводниках и полуметалиах, Минск. 1972. ⁵ Н. М. Олехнович, Кристаллография, 14, 275 (1969). ⁶ J. V. Lirman, H. S. Zhdanov, Acta physicochim., 6, 306 (1937). ⁷ R. Juza, H. Hahn, Zs. anorg. u. allgem. Chem., 239, 282 (1938). ⁸ Г. В. Самсонов, М. Д. Лютая, ЖПХ, 35, в. 8, 4680 (1962). ⁹ Р. Doyle, P. Turner, Acta crystallogr., A24, 390 (1968). ¹⁰ D. Сгомег, ibid., 18, 47 (1965). ¹¹ Н. Н. Сирота, В. Д. Янович, ДАН, 204, № 3 (1972). ¹² Н. Н. Сирота, А. И. Олехнович, Н. М. Олехнович, Сборн. Химическая связь в кристаллах, Минск, 1969.